



УДК 532.5

Д.В. Маклаков, Р.Р. Шарипов

ТЕЧЕНИЕ ЖИДКОСТИ НАД ВПАДИНОЙ

Рассматривается стационарное потенциальное течение слоя идеальной несжимаемой жидкости над горизонтальным дном, имеющим впадину *ABCD* (рис.1). Вводится декартова система координат (x,y) , ее начало лежит в середине отрезка *AD*. Задаются *H* - глубина невозмущенного уровня свободной поверхности слева на бесконечности, V_0 - скорость набегающего потока, αp , βp - углы наклона левой и правой стенки впадины к оси *Ox*, соответственно, *g* - ускорение силы тяжести, *h* и *l* - глубина и ширина впадины соответственно. Сила тяжести действует в направлении обратном направлению оси *Oy*. Рассматриваются сверхкритические режимы течения, когда число Фруда $Fr = \frac{V_0}{\sqrt{gH}} > 1$ и волны на свободной поверхности справа на бесконечности отсутствуют.

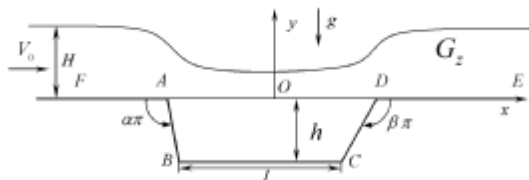


Рис. 1. Физическая область течения

Отобразим область течения в физической плоскости G_z , $z = x + iy$ на полосу $G_t = \{0 < h < p/2\}$ в плоскости комплексного переменного $t = x + ih$. Соответствие точек выберем так, чтобы бесконечно удаленные *F* и *E* перешли в бесконечно удаленные, а угловые точки *A, B, C, D* перешли соответственно в точки $t = -a$, $t = -c$, $t = c$, $t = a$, причем точки *B* и *C* симметричны относительно начала координат (рис.2).

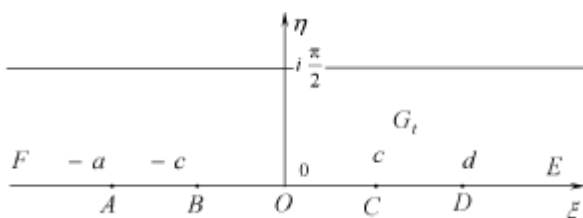


Рис. 2. Параметрическая область течения

Введем аналитическую функцию

$$c(t) = \ln \left(\frac{p}{2H} \frac{dz}{dt} \right) = m + it.$$

Если функция $c(t)$ найдена, то искомое конформное отображение $z(t)$ определяется интегралом $z(t) = H \frac{2}{p} \int_0^t e^{c(t)} dt$.

Для $c(t)$ ставится краевая задача, которая затем сводится к нелинейному интегральному уравнению

$$\text{относительно функции } I(x) = \frac{dm(x + ip/2)}{dx} -$$

производной по *x* реальной части функции C на верхней границе полосы:

$$I(x) = \frac{2}{pFr^2} \exp(3S[I](x)) \sin(TS[I](x) + f(x, a, c, d)), \quad (1)$$

где $S[I](x) = \int_{-\infty}^x I(s) ds$, $TS[I](x)$ - суперпозиция операторов *T* и *S*, $f(x, a, c, d)$ заданная функция своих аргументов.

Для определения параметров *a, c, d* имеем систему условий:

$$\frac{l}{H} = \frac{2}{p} \int_{-c}^c \exp(T_0 S[I](x) + f_0(x, a, c, d)) dx, \quad (2)$$

$$\frac{h}{H} = \frac{2}{p} \sin(\alpha p) \int_{-a}^{-c} \exp(T_0 S[I](x) + f_0(x, a, c, d)) dx, \quad (3)$$

$$\int_{-\infty}^{\infty} I(x) dx = 0. \quad (4)$$



Здесь $f_0(x, a, c, d)$ также является заданной функцией своих аргументов.

Уравнение (1) вытекает из условия постоянства давления на свободной поверхности и уравнения Бернулли. Соотношения (2) и (3) следуют из условий задания длины и глубины впадины. Соотношение (4) означает, что уровни дна слева и справа на бесконечности совпадают.

После дискретизации система (1)-(4) решалась методом Ньютона. Дискретизация проводилась способом, предложенным в [1].

На рисунках 3 и 4 показаны зависимости между числом Фруда и отношением V_C/V_0 , где V_C скорость на оси симметрии свободной поверхности. Размеры впадины следующие: $l/H = 7$, $h/H = 0.05$. Точками на рисунках 3 и 4 отмечены числа Фруда, для которых построены формы свободных границ на рис. 3.1, 3.2 и 4.1-4.6. Видно, что для зависимости на рис. 3 формы свободной поверхности повторяют форму впадины. Эта ветка решений отщепляется от равномерного потока.

Кроме того, существуют решения, для которых свободная поверхность имеет форму уединенной волны с несколькими горбами и впадинами. Этим решениям отвечает зависимость изображенная на рис. 4.

Из графиков на рисунках 3 и 4 следует, что решение данной задачи неединственное, например, существует диапазон $1.2 \leq Fr \leq 1.24$, где задача имеет 4 решения. Одно решение не имеет горбов на свободной поверхности (график на рис. 3), еще одно имеет два горба и два решения имеют по три горба. Пунктирной линией показана максимально возможная высота свободной поверхности $y_{max}/H = 1 + Fr^2/2$.

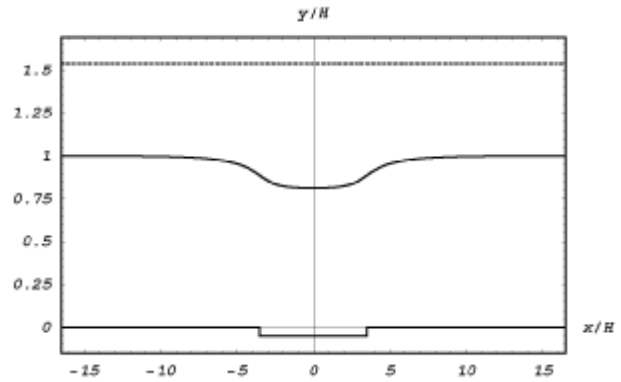


Рис. 3.1

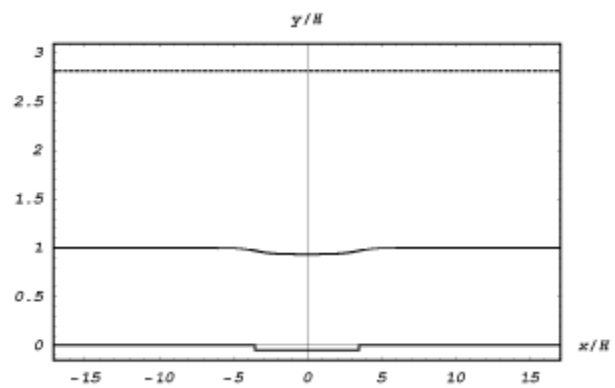


Рис. 3.2

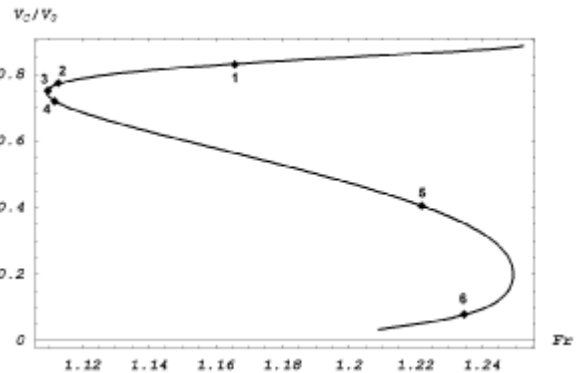


Рис. 4

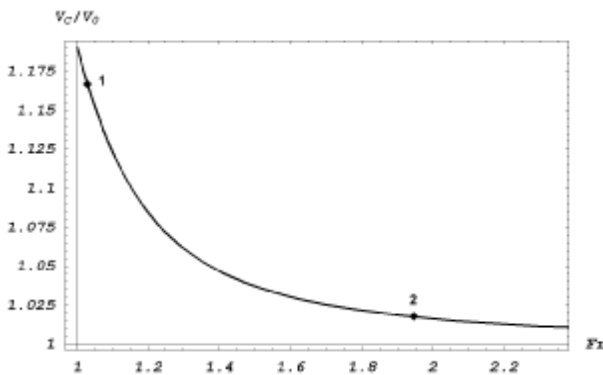


Рис. 3. Зависимость V_C/V_0 от числа Фруда

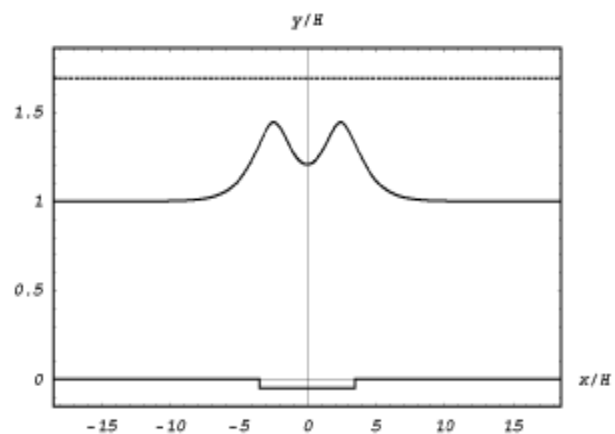


Рис. 4.1

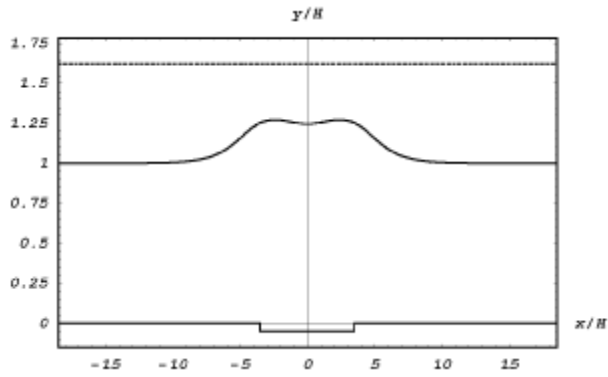


Рис. 4.2

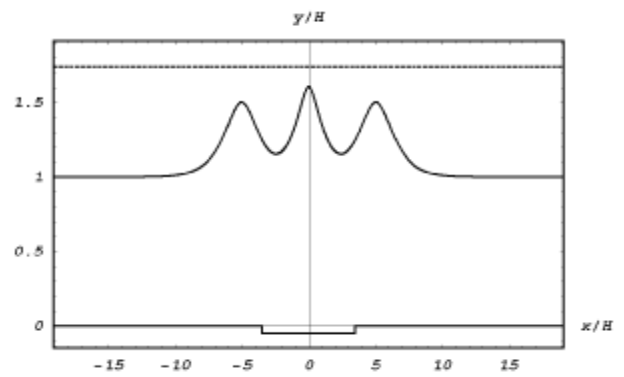


Рис. 4.5

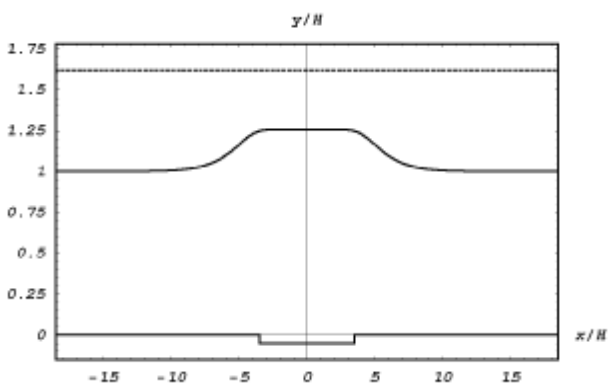


Рис. 4.3

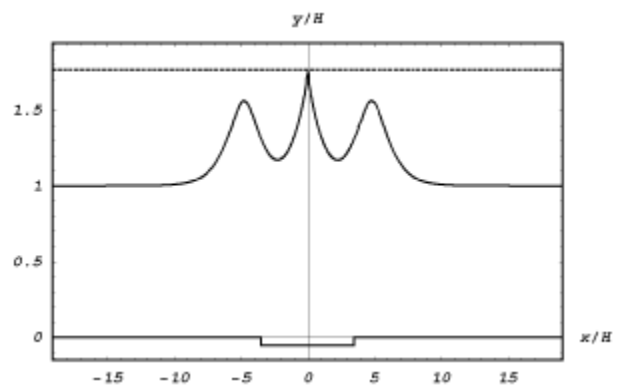


Рис. 4.6

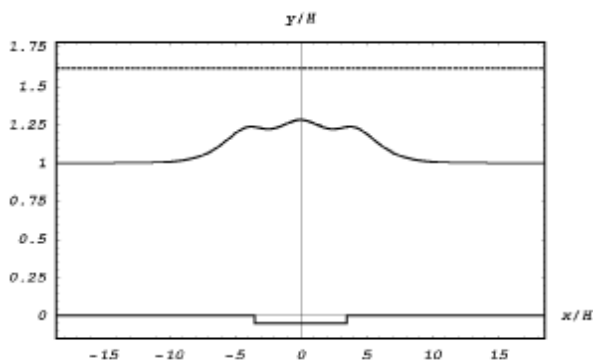


Рис. 4.4

Работа получила финансовую поддержку РФФИ (проект № 05-01-00794).

ЛИТЕРАТУРА

1. Киселев О.М., Котляр Л.М. Нелинейные задачи теории струйных течений тяжелой жидкости. Казань: Изд-во Казанского ун-та, 1978. – 156 с.
2. Маклаков Д.В. Нелинейные задачи гидродинамики с неизвестными границами. М.: Янус-К, 1997. – 280 с.